

# Simulated Annealing 알고리즘에 기반한 $L(2,1)$ -labeling 문제 연구

## Study on the $L(2,1)$ -labeling problem based on simulated annealing algorithm

한근희 · 이용진

Keun-Hee Han and Yong-Jin Lee

공주대학교 응용수학과

### 요 약

그래프  $G = (V, E)$ 의  $L(2,1)$ -labeling 은 무선통신에서 무선 기기에 할당되는 주파수를 효율적으로 사용하기 위한 최적화 문제로서 NP-complete 계열에 포함되는 문제이다. 본 연구에서는  $L(2,1)$ -labeling 문제에 적용 가능한 Simulated Annealing 알고리즘을 제시한 후 다양한 그래프에 제시된 알고리즘을 적용하여 그 효율성을 보이고자 한다.

**키워드** : 그래프,  $L(2,1)$ -labeling, Simulated Annealing 알고리즘

### Abstract

$L(2,1)$ -labeling problem of a graph  $G = (V, E)$  is a problem to find an efficient way to distribute radio frequencies to various wireless equipments in wireless networks. In this work, we suggest a Simulated Annealing algorithm that can be applied to the  $L(2,1)$ -labeling problem. By applying the suggested algorithm to various graphs we will try to show the efficiency of our algorithm.

**Key Words** : Graph,  $L(2,1)$ -labeling, Simulated Annealing algorithm

## 1. 서 론

주파수 할당 문제(frequency assignment problem)는 무선 통신망에서 각 무선 기기에 할당되는 주파수를 허용 가능한 영역 내에서 효율적으로 분배하는 최적화 문제이다. 본 문제는 Hale [1]에 의해 최초로  $T$ -coloring 이라는 그래프 이론의 정점 색칠 문제(graph coloring problem)의 일종으로 정립되었으나 이후 Roberts [2]는 근거리에 위치한 무선기기 사이에는 서로 다른 주파수를 할당하고 인접한 무선기기 사이에는 최소한 2 이상의 차이를 갖는 주파수를 할당하는 새로운 문제를 제기하였다. 본 문제는 1992년 Griggs [3]에 의하여  $L(2,1)$ -labeling 문제로 정립되었으며 본 문제의 수학적 정의는 다음과 같다.

$G = (V, E)$ 를 정점 집합  $V = \{1, \dots, n\}$  및 간선 집합  $E \subseteq V \times V$ 를 갖는 단순 무방향 그래프라 하고  $d(u, v)$ 를  $G$ 의 두 개 정점  $u, v$  사이의 최단 거리라 하자. 그래프  $G$ 에 대한  $L(2,1)$ -labeling 이란 다음 두 개 조건을 만족하는 함수  $f: V(G) \rightarrow \{0, 1, 2, \dots, \lambda\}$ 를 정의하는 것이다.

- (i) 만일  $d(u, v) = 1$  이라면  $|f(u) - f(v)| \geq 2$ , (A)
- (ii) 만일  $d(u, v) = 2$  라면  $|f(u) - f(v)| \geq 1$ ,

주어진 그래프  $G$ 에 대하여 함수  $f$ 가 상기한 조건 (A)를 만족하는  $L(2,1)$ -labeling 이라면  $f \in L(2,1)(G)$ 이라 하고  $\|f(G)\| = \max \{f(v) \mid v \in V(G)\}$ 라 하자. 즉,  $\|f(G)\|$ 는  $G$ 에 대한  $L(2,1)$ -labeling 에서 사용된 가장 큰 정수를 나타낸다. 주어진 그래프  $G$ 의 모든  $f \in L(2,1)(G)$ 에 대하여  $G$ 의  $L(2,1)$ -labeling number 로 불리우는  $\lambda(G)$ 는  $\min \|f(G)\|$ 로 정의되며 그러한  $L(2,1)$ -labeling  $f$ 를  $G$ 에 대한 최적의  $L(2,1)$ -labeling 이라 한다. 이를 다시 표현하면, 식 (A)를 만족하는 상태에서 그래프 내의 모든 정점들에 정수를 부여하되 부여되는 가장 큰 정수값을 최대한 낮추도록 하는 것이  $L(2,1)$ -labeling 문제의 목적이며 이는 그래프의 각 정점들을 무선기기로 취급하면 전체 무선기기에 할당되는 전체 주파수의 대역폭을 최소화 시킬 수 있는 장점을 갖게 된다. 무선기기에 분배될 수 있는 주파수 대역은 물리적, 정책적 및 상업적으로 매우 한정된 자원이므로 주어진 주파수 대역 내에서 주파수를 효율적으로 분배하는 것은 매우 중요하다.

그래프  $G = (V, E)$ 에 대하여 식 (A)의 두가지 조건을 만족하는 labeling을 유효한  $L(2,1)$ -labeling 이라 하자. 그림 1은 4개 정점  $a, b, c$  및  $d$ 로 구성된 동일한 그래프  $G$ 에 대한 3개의  $L(2,1)$ -labeling  $f_1, f_2$  및  $f_3$ 을 보여준다.

그림 1 (a)의 경우  $d(b, d) = 1$ 이지만  $|f_1(b) - f_1(d)| = 1$ 이므로  $f_1$ 은 유효하지 않는  $L(2,1)$ -labeling 이다. 그림 1 (b)의  $f_2$ 는 비록 유효한  $L(2,1)$ -labeling 이지만 최적의  $L(2,1)$ -labeling은 아니며 그림 1 (c)는 최적의  $L(2,1)$ -labeling을 보여주고 있다.

접수일자 : 2010년 10월 29일

완료일자 : 2011년 1월 30일

이 논문은 2009년 공주대학교 학술연구지원사업의 연구비 지원에 의하여 연구 되었습니다.

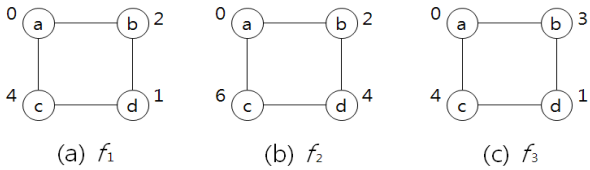


그림 1. 4개 정점  $a, b, c$  및  $d$ 로 구성된 그래프  $G$ 의  $L(2, 1)$ -labeling  
 Fig. 1.  $L(2, 1)$ -labeling on a graph  $G$  consisting of four vertices  $a, b, c$  and  $d$

$G = (V, E)$ 를 단순 무방향 그래프라 하자.  $G$ 의 정점  $v$  ( $\in V$ )의 차수는  $v$ 에 인접한 간선의 개수를 나타내며  $deg(v)$ 로 표기된다.  $G$ 의 최대차수  $\Delta(G)$  및 최소차수  $\delta(G)$ 는  $\Delta(G) = \max\{deg(v) \mid v \in V\}$  및  $\delta(G) = \min\{deg(v) \mid v \in V\}$ 이라 각각 정의된다.  $G$ 의 직경(diameter)은  $diam(G) = \max\{d(u, v) \mid u, v \in V\}$ 로 정의된다. 그래프의 정점 및 간선의 개수는  $|V| = n$  및  $|E| = e$ 로 각각 표기된다. 그래프  $G$ 의 인접행렬(adjacency matrix)  $A(G)$ 는  $n \times n$  크기의 0-1 행렬로서 원소  $a_{ij} = 1$ 일 필요충분조건은 정점  $i$ 와 정점  $j$ 가 서로 인접하다는 것이다.

주어진 그래프  $G = (V, E)$ 의  $\lambda(G)$ 를 계산하는 것은 NP-complete 계열에 속하는 문제로서  $diam(G) = 2$ 인 그래프의  $\lambda(G) \leq |V|$ 를 판별하는 문제조차도 NP-complete 계열에 속하는 문제이다 [3]. 따라서,  $L(2, 1)$ -labeling에 대한 연구는 그래프  $G$ 의 최대차수를 나타내는  $\Delta(G)$ 를 매개 변수로 이용하여 다양한 일반 및 특수 그래프들에 대한  $\lambda(G)$ 의 하한 및 상한 값을 계산하는데 치중되어 왔다. Griggs [3]는 일반 그래프  $G$ 에 대하여  $\lambda(G) \leq \Delta(G)^2 + 2\Delta(G)$ 임을 제시하였지만 본 결과는 Chang [4]에 의하여  $\lambda(G) \leq \Delta(G)^2 + \Delta(G)$ 로 개선되었으며, 2003년에는 Král [5]에 의하여  $\lambda(G) \leq \Delta(G)^2 + \Delta(G) - 1$ 로 개선되었다. 또한 2005년에는 Goncalves [6]에 의하여 본 결과는  $\lambda(G) \leq \Delta(G)^2 + \Delta(G) - 2$ 로 개선되었다. 특수 그래프들에 관련된  $\lambda(G)$ 의 상한 및 하한 값들은 [11]에서 참조될 수 있다.

본 논문에서는 그래프  $G$ 의  $L(2, 1)$ -labeling number인  $\lambda(G)$ 의 근사값을 계산할 수 있는 Simulated Annealing (SA) 알고리즘을 제시하고자 한다. 제시된 알고리즘은  $\lambda(G)$ 의 최적값을 쉽게 계산할 수 있는 특수 그래프인 complete  $k$ -partite graph에 적용하여 제시된 알고리즘의 효용성을 검증하고자 하며 또한 제시된 SA 알고리즘이 이미 제안된 알고리즘 [7]에서 제시된 유전 알고리즘 (Genetic Algorithm : GA)의 결과보다 뛰어난 성능을 보이도록 한다. 또한 본 연구에서 제시되는 알고리즘은 [7]에서 제시된 알고리즘보다 계산 수행의 시간적 측면에서도 뛰어난 성능을 통하여 보이도록 한다.

본 논문의 나머지 부분은 다음과 같이 구성되어 있다. 2장에서는 Simulated Annealing 알고리즘에 대한 간략한 소개 및  $L(2, 1)$ -labeling을 위하여 본 연구에서 제안하는 SA 알고리즘의 구조를 설명하며 이어서 3장에서는 본 연구에서 제안하는 SA 알고리즘을 다양한 complete  $k$ -partite graph에 적용한 실험 결과를 분석한다. 끝으로 4장에서는 결론을 맺는다.

## 2. L(2, 1)-labeling을 위한 Simulated Annealing 알고리즘

### 2.1 Simulated Annealing 알고리즘

본 논문에서 언급되는 모든 그래프들은 단순 무방향 그래프이며 SA 알고리즘 및 그래프 이론에 관련된 더욱 자세한 내용은 [8] 및 [9]을 각각 참조하도록 한다.

Simulated Annealing (SA) 알고리즘은 철을 조련하는 과정에서 철의 온도를 적절히 조절하는 상태에서 철을 담금질 하여 더욱 높은 품질의 철을 제련하는 방법을 모방하는 알고리즘으로서 1983년 Kirkpatrick [10]에 의해 최초로 개발되었다. 이러한 SA 알고리즘은 유전 알고리즘과 마찬가지로 NP-complete 계열에 속하는 다양한 최적화 문제를 계산하는데 주로 사용된다. SA 알고리즘은 다수의 해 집단을 취급하는 유전 알고리즘과는 달리 하나의 해(solution)만을 다루며 크게 쇠를 두들기어 변형시키는 과정(move operation)과 온도(temperature)에 따라 해를 선택적으로 수용하는 적합도 함수(evaluation function) 등으로 구성된다. 다음 그림 2는 본 연구에서 사용된 SA 알고리즘에 대한 전반적인 흐름을 보여주고 있다.

```

1 Begin
2   T = T0;
3   Tstop = Ts;
4   Current_Solution = Generation of a initial solution;
5   While Tstop > 0 do
6     accept = False;
7     For i = 1 to M do
8       New_Solution = Move (Current_Solution)
9       ΔGain = eval (Current_Solution) - eval (New_Solution);
10      If Accept (ΔGain, T) then
11        Current_Solution = New_Solution;
12        accept = True;
13      If accept then
14        Tstop = Ts;
15      Else
16        Tstop = Tstop - 1;
17      T = T × a;
18 End
    
```

그림 2. Simulated Annealing 알고리즘  
 Fig. 2. Simulated Annealing Algorithm

그림 2에서 초기 해의 구성은 난수를 이용하여 임의적으로 구성된다.  $T_0$ 는 초기온도,  $T$ 는 현재온도이며  $T_s$ 는 일 정온도에서의 담금질 횟수,  $T_{stop}$ 는 실행해야 할 남은 담금질 수를 나타낸다. 그림 2의 7번째 행의  $M$ 은 주어진 해를 변형시키는  $Move()$ 의 반복횟수를 나타내며 9번째 행의  $\Delta Gain$ 의 값은 주어진 해의 적합도를 계산하는 함수  $eval()$ 에 따라 계산된다.  $\Delta Gain$  값이 계산되면 새로 생성된 해의 수용여부는 현재온도  $T$ 를 고려하여  $Accept()$ 에 의하여 결정된다. 17번째 행의  $a$ 는  $[0, 1)$  사이의 실수 값으로 온도를 낮추는 역할을 하며 담금질이 반복 될수록 온도가 내려가면서 반복적인 최적화가 이루어진다.  $Accept()$ 는 다음 식 (1)과 같이 정의된다.

$$Accept() = \begin{cases} true, & \Delta Gain > 0 \text{ or } R() = 1 \\ false, & otherwise \end{cases} \quad (1)$$

새로 생성된 해가 현재의 해보다 우월한 경우 새로 생성된 해는 (1) 식에 의해 항상 수용된다. 만일 새로 생성된 해가 현재의 해보다 열등한 경우에는 새로 생성된 해는 선택적으로 수용된다. 예를 들어, 본 문제와 같이 최소값을 구하는 최적화 문제에서 현재의 해를  $C$  라 하고 새로 생성된 해를  $N$  이라 할 때 만일  $eval(C) < eval(N)$  이라면  $N$  의 수용여부는  $R()$  에 의하여 결정된다.  $R()$  은 다음 식 (2) 과 같이 정의되며 여기서  $R$  은  $[0, 1)$  사이의 실수 난수이다.

$$R() = \begin{cases} 1, & R \leq e^{-\frac{\Delta Gain}{T}} \\ 0, & otherwise \end{cases} \quad (2)$$

따라서,  $Accept()$  는 비록 열등한 해 일지라도 해의 다양성 및 지역 최적해 (local optimum) 로 수렴하는 것을 방지하기 위하여 이러한 열등한 해를 수용할 수도 있게 된다. (2) 식으로부터 온도가 높을 때에는 열등한 해를 수용할 확률이 크지만 온도가 감소하면서 열등한 해를 수용할 확률은 점차 감소하게 됨을 알 수 있다.

### 2.2 $L(2, 1)$ -labeling 문제 분석

그래프  $G = (V, E)$  ( $|V| = n$ )에서 정점집합  $V$  의 배열 (ordering) 이란 전단사 함수  $\pi : \{1, 2, \dots, n\} \leftrightarrow V$  를 의미한다.  $G(\pi)$  를  $G$  의 정점들이 특정 배열  $\pi$  에 의하여 배열된 그래프 (ordered graph) 라 하자.  $G$  의  $L(2, 1)$  -labeling 을 계산하는 기본적인 알고리즘은 Griggs [3]가 제안한 First Fit Algorithm (FFA) 이다. 본 알고리즘은 주어진 그래프의 정점들을 특정배열  $\pi$  에 의하여 순서를 정한 후  $\pi$  의 순서에 따라 각 정점  $v$  를 차례대로 방문하면서  $\{0, 1, 2, \dots\}$  의 정수들 중 조건 (A) 를 만족시키면서  $v$  에 부여될 수 있는 가장 작은 정수를  $v$  에 부여하는 알고리즘이며 그림 3 에 표현되어 있다.

#### Algorithm First-fit

**Input** : A graph  $G(\pi)$  with an ordering  $\pi = (v_1, v_2, \dots, v_n)$  of vertices,  $S = \{x | x \text{ is an integer } \geq 0\}$ .

**Output** :  $L(2, 1)$ -labeling of  $G$

**begin**

**for**  $i = 1$  **to**  $n$  **do**

    label  $v_i$  by the lowest possible integers in  $S$ ;

**end**

그림 3. First Fit 알고리즘  
Fig. 3. First Fit Algorithm

$LG(\pi)$  를 주어진 그래프  $G = (V, E)$  및  $V$  에 대한 배열  $\pi$  에 대하여 FFA 를 실행 시킨 결과로 나타나는  $L(2, 1)$ -labeling 이라 하고  $L(v)$  를  $LG(\pi)$  에서 정점  $v$  에 부여된 정수 (label) 라 하자. 또한,  $maxL(LG(\pi))$  를  $LG(\pi)$  에서 나타나는 가장 큰 정수 (label) 라고 하자.  $V = \{1, 2, 3, 4, 5, 6, 7\}$  이라 하고  $\pi_1 = [1, 2, 3, 4, 5, 6, 7]$  및  $\pi_2 = [4, 5, 6, 2, 1, 7, 3]$  이라 하였을 때 다음 그림 4 는 동일한 그래프에 대하여  $\pi_1$  및  $\pi_2$  에 따르는 FFA 의 결과인  $LG(\pi_1)$  및  $LG(\pi_2)$  를 각각 보여준다.

그림 4 의 (a) 와 (b) 로부터  $maxL(LG(\pi_1)) = 6$  인 반면에  $maxL(LG(\pi_2)) = 5$  임을 알 수 있으며 이로부터 FFA 에 기반하는  $L(2, 1)$ -labeling에 있어서 정점들의 배열  $\pi$  에 따라서  $maxL(LG(\pi))$  가 변할 수 있음을 알 수 있다. 또한, FFA 는 Greedy Algorithm으로서 모든 배열  $\pi$  에 대하여

$LG(\pi)$  는 Minimal Ordering 임을 알 수 있다. 즉,  $LG(\pi)$  로부터 임의의 정점  $v$  의  $L(v)$  를 독립적으로  $L(v)$  보다 작은 값으로 대체하면  $LG(\pi)$  는 더 이상 유효한  $L(2, 1)$ -labeling 이 아니다.

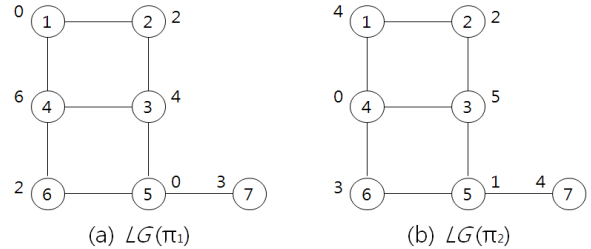


그림 4. (a)  $\pi_1 = [1, 2, 3, 4, 5, 6, 7]$  에 따른 FFA 결과, (b)  $\pi_2 = [4, 5, 6, 2, 1, 7, 3]$  에 따른 FFA 결과

Fig. 4. (a) FFA's result based on  $\pi_1 = [1, 2, 3, 4, 5, 6, 7]$ , (b) FFA's result based on  $\pi_2 = [4, 5, 6, 2, 1, 7, 3]$

본 연구에서 제시되는 SA 알고리즘은 FFA 를 위한 최적의 정점들의 배열  $\pi$  를 생성시키는 것에 주안점을 두고 있다. 제안되어진 유전 알고리즘 [7]에서는 FFA 를 기반으로 정점들의 배열  $\pi$  를 최적의 상태로 변화 시키며  $\pi$  를 재배열시키는 교배 연산 (crossover) 으로 순회방문 판매원 문제 (Traveling Salesman Problem) 를 위하여 개발된 Operation 을 적용하였다. 따라서 제안된 유전 알고리즘 [7]에는 Current\_Solution이 저장하고 있는  $L(2, 1)$ -labeling에 관련된 정보가 New\_Solution에 전달되지 못한다는 단점을 갖고 있으며, 본 연구에서는 이러한 단점을 완화 시키는 방법으로 Move Operation 을 적용하고자 한다.

그래프  $G = (V, E)$  로부터  $n = |V|$  라 하자.  $M$  을 길이  $n$  을 갖는 벡터라 하면  $M[i..j]$  ( $1 \leq i \leq j \leq n$ ) 를  $M$  으로부터  $M[i] \sim M[j]$  원소들로 구성되는 부분 벡터라 하자. 해 (solution) 를 표현하기 위하여 길이  $n$  의 두 개 정수 벡터  $\pi$  및  $L$  을 이용한다.  $L[i]$  는 FFA 에 의하여 정점  $i$  에 부여된  $L(2, 1)$ -label 을 저장하며,  $\pi[i]$  는  $\pi$  에서 정점  $i$  의 순서를 저장한다. 벡터  $\pi$  및  $L$  의 관계는  $\pi$  가 정해지면  $\pi$  를 기반으로 FFA 를 실행시킨 결과가  $L$  에 저장된다. 따라서,  $L[i]$  에는  $\pi$  에서 정의된 정점 순서에 따라 정점  $i$  에 대하여 FFA 가 부여한  $L(2, 1)$ -label 이 저장된다. 이때 초기해 (initial solution)  $\pi$  는 무작위로 생성된다. 그림 2 의 8 행에 나타나는 Move () Operation 은 다음과 같이 실행된다.

$\pi_{cur}$  및  $L_{cur}$  를 Current\_Solution 이라 하자. 먼저  $1 \leq p_1 \leq n, 1 \leq p_2 \leq n$  및  $p_1 < p_2$  를 만족하는 두 개의 정수 형태의 난수 (random integer number)  $p_1$  및  $p_2$  를 생성한다.  $T$  를 길이  $k = p_2 - p_1 + 1$  를 갖는 벡터라 하자. 벡터  $T$  는 다음과 같이 정의 된다.

$$T[i] = L_{cur}[\pi_{cur}[p_i]], \quad 1 \leq i \leq k, j = p_1 + i - 1.$$

즉,  $T$  에는  $\pi_{cur}[p_1..p_2]$  에 포함된 각 정점  $v$  의  $L(v)$  가 저장된다.  $ST$  를  $T$  를 오름차순으로 정렬한 결과 벡터라 하자. 마지막 단계로  $\pi_{cur}[p_1..p_2]$  를  $ST$  에 따라 재배열 시킨 후  $\pi_{new} = \pi_{cur}$  로 정의 한다. 즉,  $ST^{-1}[i]$  를  $ST[i]$  의 label 을 부여받은 정점이라 하면,

$$i < p_1 \text{ 또는 } i > p_2 \text{ 라면 } \pi_{new}[i] = \pi_{cur}[i],$$

$$p_1 \leq i \leq p_2 \text{ 라면 } \pi_{new}[i] = ST^{-1}[i+1-p_1]$$

이다. 예를 들어

$$\pi_{cur} = [4, 3, 7, 2, 5, 6, 1]$$

$$L_{cur} = [3, 0, 5, 9, 4, 8, 6] \text{ 및 } p_1 = 2, p_2 = 5$$

라 하면

$$T = [5, 6, 0, 4]$$

$$ST = [0, 4, 5, 6]$$

이므로

$$\pi_{new} = [4, 2, 5, 3, 7, 6, 1]$$

이다. 이 때  $L_{new}$  는  $\pi_{new}$  를 기반으로 주어진 그래프  $G$  에 대하여 FFA 를 실행시킴으로써 계산된다. 본 Move Operation 은  $\pi_{cur} [p_1..p_2]$  에 포함된 정점들을 자신들에게 부여된 label 의 크기가 작은 정점들 순서로 재배열 시키는 효과를 가져온다. 그림 5 는 Move Operation 의 과정을 자세히 보여주며, 그림 2 의 9 행의 eval (solution) 는 벡터  $L$  내 가장 큰 수로 정의 된다. 따라서 eval (solution) =  $maxL(LG(\pi))$  이며 Cost function 은  $maxL(LG(\pi))$  로 적용하였다.

```

1 Procedure Move ( $\pi_{cur}, L_{cur}$ )
2 begin
3   Randomly select  $p_1$  and  $p_2$  such that  $1 \leq p_1, p_2 \leq n$ 
   and  $p_1 < p_2$ ;
4    $k = p_2 - p_1$ ;
5   Let  $T$  be a vector of length  $k$ ;
6   Set  $T[j] = L_{cur}[\pi_{cur}[p_1]]$ ,  $1 \leq i \leq k, j = p_1 + i - 1$ ;
7   Sort  $T$  in nondecreasing order and let  $ST$  be the sorted
   vector;
8   Set  $\pi_{new}[i] = \pi_{cur}[i]$ ,  $i < p_1$  or  $i > p_2$ ;
9   Set  $\pi_{new}[i] = ST^{-1}[i + p_1]$ ,  $p_1 \leq i \leq p_2$ ;
10   $L_{new} = \text{First-Fit}(\pi_{new})$ ;
11  return  $\pi_{new}$  and  $L_{new}$ ;
12 end
    
```

그림 5. Move Operation  
Fig. 5. Move Operation

제안된 알고리즘의 계산 복잡도(time complexity) 는 Simulated Annealing 알고리즘의 특성상 전체적인 계산 복잡도를 계산하는 것은 불가능하지만 각 모듈들의 계산 복잡도는 다음과 같이 계산 될 수 있다. 그림 3 의 First-Fit () 을 실행하기 위해서는 각 정점들로부터 최단 거리가 2 인 정점들을 계산하여야 하며 이는 인접 행렬의 제곱 즉,  $A^2(G) = A(G) \times A(G)$  로부터 계산 될 수 있다. 일반적인 행렬 곱셈을 이용하면 본 계산은  $O(n^3)$  을 요구하지만 Coppersmith [12] 의 행렬 곱셈을 이용하면 본 계산은  $O(n^{2.376})$  을 요구한다. 또한  $A^2(G)$  는 정확히 한번만 계산되면 충분하다. Move Operation 의 계산 복잡도는 그림 5 의 7 행에서  $T$  를 오름차순으로 정렬하는 과정 및 10 행에서 First-Fit () 를 실행하는 과정에 의하여 결정된다. 최악의 경우  $T$  의 길이는  $n$  이 가능하며 이 경우 Merge Sort 를 이용하면  $T$  를 정렬하는 과정은  $O(n \log_2 n)$  이 요구된다. First-Fit () 에서 임의의 정점  $v$  가 label 을 부여 받는다고 하자. 최악의 경우  $v$  의 차수는  $\Delta(G)$  가 될 수 있으며 이들  $\Delta(G)$  개 정점들의 차수 또한 모두  $\Delta(G)$  가 가능하다. 따라서 정점  $v$  로부터 최단거리 2 이내에 위치한 정점들의 총 수는 최악의 경우  $\Delta(G) + \Delta(G)(\Delta(G)-1) = \Delta^2(G)$  개가 존

재 할 수 있다.

$G = (V, E)$  에서  $V = \{v_1, v_2, \dots, v_n\}$  이라 하자.  $1 \leq i \leq n$  에 대하여  $L(v_i) = 2(i-1)$  로 정의하면 결과는 명백히 L(2,1)-labeling 이며 따라서 First-Fit () 이 검사하여야 할 총 label (정수) 의 개수는 최악의 경우에  $2n-2$  개가 된다. 따라서 First-Fit () 은 최악의 경우  $\Delta^2(G)(2n-2) \in O(n \Delta^2(G))$  의 계산 복잡도를 요구하며 따라서 그림 2 에서 5 행 및 17 행 사이를 계산하는 계산 복잡도는  $O(n \Delta^2(G))$  이다.

### 3. 실험 및 결과분석

다른 그래프 문제들과는 달리 아직 L(2,1)-labeling 문제를 위한 benchmark graph 들은 아직 존재하지 않고 있다. 따라서 본 연구에서는 제안된 SA 알고리즘의 효율성을 입증하기 위하여  $\lambda(G)$  가 알려진 특수 그래프 (special graph) 인 complete  $k$ -partite graph 를 대상으로 실험 하였다.

$k$ -partite graph는 동일한 부분 집합 내에서 간선이 존재하지 않도록 정점 집합을  $k$  개 부분 집합으로 분할 (partition) 시킨 그래프이다. 예를 들어, 이분 그래프 (bipartite graph)는  $k$ -partite graph 로서  $k=2$  인 경우이다. Complete  $k$ -partite graph는  $k$ -partite graph 로서 서로 다른 부분 집합의 모든 정점 쌍 사이에 간선이 존재하는 그래프로서  $k$  개 부분 집합에서 각각  $p, q, \dots, r$  개 정점들이 존재한다면 complete  $k$ -partite graph는  $K_{p,q,\dots,r}$  로 나타낸다. 여기서  $p, q, \dots, r$  을 complete  $k$ -partite graph 의 partite set 이라 한다. Complete  $k$ -partite graph 의  $\lambda(G)$  는 Griggs [3] 에 의하여 최초로 계산되었으며 다음 정리 1 에 나타낸다. 또한 그림 6 은  $K_{2,3,4}$  를 보여준다.

정리 1. [3]  $G = (V, E)$  가  $|V| = n$  인 complete  $k$ -partite graph 라면  $\lambda(G) = n + k - 2$  이다.

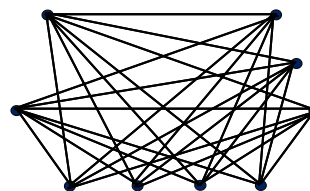


그림 6.  $K_{2,3,4}$  그래프  
Fig. 6.  $K_{2,3,4}$  graph

실험의 정확성을 위하여 다양한 크기를 갖는 15 개 complete  $k$ -partite graph 들을 생성하였으며 이들에 대한 정보는 표 1 에 나타난다. 이들은 주어진 정점 개수  $n$  에 대하여 무작위로 생성된 partite set 들을 기반으로 생성되었으며 정점 개수  $n$  에 따라  $G_n$  계열의 그래프로 구분되고 있다. 또한 동일한  $n$  값에 대하여 서로 다른 partite set 을 갖는 5 개씩의 그래프들을 생성하였다. 표 1 에서  $\Delta(G)$  및  $\delta(G)$  는 각각 그래프  $G$  의 최대 차수 및 최소 차수를 나타내며  $e = |E|$  를 나타낸다. 또한 마지막 열의  $\lambda(G)$  는 정리 1 로부터 계산된 개개 실험 그래프들의  $\lambda(G)$  값을 보여준다.

이전 연구 [7] 에서도 마찬가지로 실험 대상 그래프로써 complete  $k$ -partite graph 를 사용하였지만 선정된 그래프들의 정점개수가 최대 50 개로서 크기가 다소 제한적이므로 본 연구에서는 정점개수를 최대 300 개로 확장하였다. 비교

표 1. 실험에 사용된 complete  $k$ -partite graph

Table 1. 15 complete  $k$ -partite graphs used for the experiments

Graph	Partite sets	$n$	$e$	$\Delta(G)$	$\delta(G)$	$\lambda(G)$
G100-1	15, 13, 20, 12, 17, 17, 6	100	4239	99	80	105
G100-2	10, 20, 14, 10, 12, 15, 15, 4	100	4303	99	80	106
G100-3	15, 17, 16, 18, 13, 20, 1	100	4168	99	80	105
G100-4	16, 18, 17, 11, 10, 19, 9	100	4270	99	81	105
G100-5	18, 14, 11, 16, 17, 11, 13	100	4340	99	82	105
G200-1	26, 22, 19, 21, 15, 25, 18, 20, 28, 6	200	17837	199	172	208
G200-2	26, 24, 18, 30, 27, 24, 17, 24, 10	200	17672	199	170	207
G200-3	26, 18, 18, 27, 18, 30, 28, 28, 7	200	17574	199	170	207
G200-4	26, 24, 15, 25, 22, 21, 28, 27, 12	200	17724	199	172	207
G200-5	26, 24, 24, 28, 24, 22, 23, 29	200	17885	199	172	206
G300-1	29, 35, 29, 32, 27, 33, 33, 30, 29, 23	300	40699	299	265	308
G300-2	37, 36, 35, 23, 37, 38, 21, 26, 39, 8	300	40061	299	261	308
G300-3	34, 35, 40, 33, 33, 37, 33, 21, 34	300	40454	299	260	307
G300-4	21, 33, 40, 34, 31, 23, 33, 29, 20, 36	300	40929	299	260	308
G300-5	39, 35, 28, 39, 24, 30, 27, 38, 40	300	40630	299	261	307

분석을 위하여 이미 제안된  $L(2,1)$ -labeling 문제 [7]에 대한 유전 알고리즘을  $GA\_L(2,1)$  으로 나타내며 본 연구에서 제안된 SA 알고리즘은  $SA\_L(2,1)$  로 나타내기로 한다.

표 2는 크게 3개 열로 구분되며 각 열은 FFA,  $GA\_L(2,1)$  및  $SA\_L(2,1)$  의 실험 결과를 보여준다. FFA 열의 결과는 표 1의 그래프들에 대하여 서로 다른 정점순서를 이용하여 First-Fit 알고리즘을 100,000 회를 반복 수행한 결과를 보여준다.  $GA\_L(2,1)$  열의 결과는 [7]에서 제안한 유전 알고리즘의 결과를 그리고  $SA\_L(2,1)$  열의 결과는 본 연구에서 제안된 SA 알고리즘의 결과를 보여준다. 각 그래프에 대하여 실험은 10 회를 반복하여 이들 중 최선 (best), 최악 (worst) 및 평균 (ave) 값들을 추출하였으며 “time” 열

은 10 회를 반복한 실험의 평균 실행 속도를 분 단위로 측정 한 것이다.  $SA\_L(2,1)$  은 다음과 같은 파라메타를 적용 하였다.

$$T_0 = 1000, T_s = 20, M = 400, a = 0.89$$

3개 알고리즘에 대한 프로그램은 자바 언어를 이용하여 구현 되었으며 실험 결과는 모두 Desktop PC (2.33 GHz, 3G RAM) 로부터 도출 되었다. 또한  $GA\_L(2,1)$  은 유전 연산자로서 이전 연구 [7]에서 제시된 CX (cycle cross-over) 및 SIM (simple inversion mutation) 을 적용 하였으며 또한 iteration = 2000, population size = 60, crossover rate = 0.8 및 mutation rate = 0.01 을 사용하였다. 따라서  $GA\_L(2,1)$  의 경우 약  $60 \times 2000 \times (0.8 + 0.01) = 97,200$  개

표 2. FFA,  $GA\_L(2,1)$  및  $SA\_L(2,1)$  실험결과

Table 2. Results of FFA,  $GA\_L(2,1)$  and  $SA\_L(2,1)$

Graph	FFA				$GA\_L(2,1)$				$SA\_L(2,1)$				
	best	worst	ave	time (min)	best	worst	ave	time (min)	best	worst	ave	time (min)	average Iteratraion
G100-1	180	188	184.2	2.9	143	152	148.5	3.2	110	110	110.0	1.1	44,720
G100-2	186	193	189.0	3.0	153	164	158.9	3.3	123	123	123.0	1.2	45,800
G100-3	175	187	181.8	2.9	139	148	143.7	3.0	105	105	105.0	0.9	35,708
G100-4	182	190	185.4	2.9	145	158	152.3	3.2	113	115	113.2	1.1	42,840
G100-5	184	190	187.3	2.9	145	157	152.8	3.2	117	118	117.1	1.1	44,360
G200-1	367	383	375.9	23.5	332	341	336.7	26.4	213	217	214.0	10.8	61,360
G200-2	370	380	375.9	23.4	329	341	334.3	26.6	216	219	216.8	10.9	60,360
G200-3	364	383	375.0	23.2	328	342	333.0	25.9	213	218	214.3	10.6	59,400
G200-4	364	380	374.5	23.4	325	345	334.7	26.4	218	220	218.6	10.8	60,000
G200-5	372	385	378.0	23.7	329	343	336.7	27.0	234	238	234.9	11.6	62,000
G300-1	561	573	566.8	83.0	519	538	526.6	95.4	330	336	332.8	45.7	76,440
G300-2	561	572	567.8	82.0	510	527	520.5	94.1	315	323	318.7	43.9	76,680
G300-3	563	576	566.7	83.2	514	531	523.6	96.1	340	345	342.3	48.5	79,160
G300-4	562	577	572.0	83.7	517	539	529.2	97.3	343	348	346.3	48.0	78,040
G300-5	561	578	568.4	83.5	514	533	524.7	96.0	347	354	349.3	45.4	71,240

의 새로운 해를 생성한 결과이다.

표 2로부터 모든 그래프들에 대하여 FFA의 결과는 나머지 2개 알고리즘의 결과보다 현저히 낮은 효율을 보임을 알 수 있다. GA\_L(2,1)의 경우 모든 15개 그래프로부터 최적의 값을 계산하지를 못 하였지만 SA\_L(2,1)의 경우 G100-3 그래프에 대하여 10회 반복 실험에서 항상 최적 값인 105를 계산하였다. 반면에 GA\_L(2,1)는 G100-3 그래프에 대하여 10회 반복 실험 중 최선의 값으로 139가 도출되었으며 평균적으로는 143.7이 도출되었다. 또한 정점의 크기가 증가 할수록 SA\_L(2,1)는 GA\_L(2,1)보다 뛰어난 효율을 보여 주고 있다. 예를 들어, G300-1 그래프의 경우 "best"를 기준으로 GA\_L(2,1)은 519가 도출 되었지만 SA\_L(2,1)은 330을 도출 하였다. G300-1 그래프의 경우  $\lambda(G) = 308$  이므로 SA\_L(2,1)은 최적값으로부터 22의 차이를 보이지만 GA\_L(2,1)은 211의 차이를 보이고 있다.

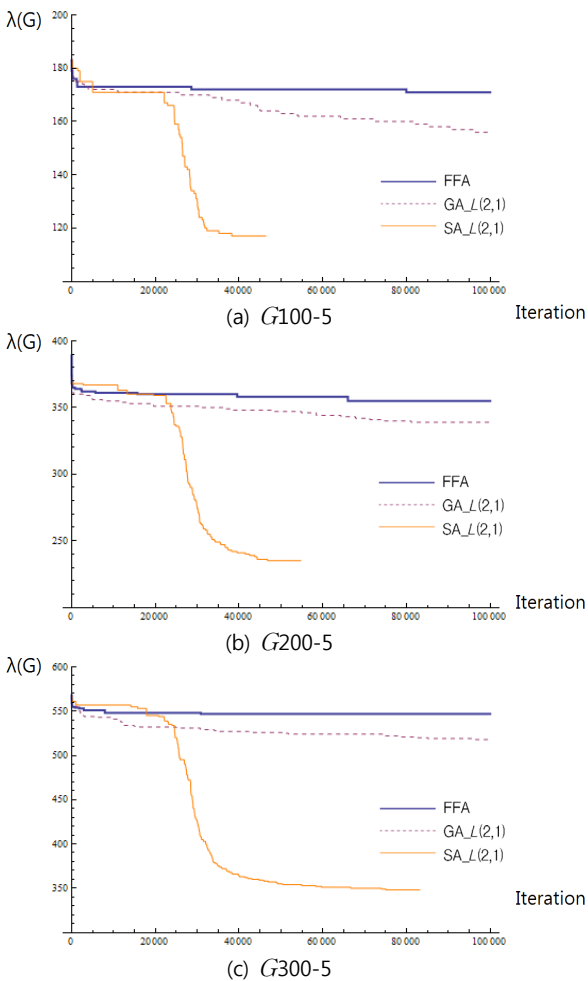


그림 7. FFA, GA\_L(2,1) 및 SA\_L(2,1)의 수렴성 비교  
Fig. 7. Convergence rates of FFA, GA\_L(2,1) and SA\_L(2,1)

그림 7은 G100-5, G200-5 및 G300-5 등 세 개 그래프에 대하여 세 개 알고리즘의 해의 수렴성 및 결과 값의 변화를 보여준다. 본 결과는 세 개 알고리즘에 대하여 각각 총 100,000 회의 반복을 허용한 실험 결과이지만 SA\_L(2,1)의 경우 세 개 그래프에 대하여 모두 100,000회 반복이

전에 수렴이 이루어 졌음을 알 수 있다. 예를 들어, 그림 7의 (c)를 보면 G300-5 그래프에 대하여 실험 초기에는 GA\_L(2,1)이 SA\_L(2,1)보다 좋은 결과를 보여주지만 반복이 진행 될수록 SA\_L(2,1)은 GA\_L(2,1)보다 월등히 좋은 결과를 보여준다. 이는 실험 초기에 SA\_L(2,1)의 경우 높은 온도로 인하여 다양한 해를 수용하기 때문이다. 그러나 반복 횟수가 25,000에 근접할 때부터 매우 빠른 수렴성을 보이며 반복횟수가 60,000이 되면 거의 일정한 값에 수렴함을 알 수 있다.

표 3은 G300 계열의 그래프에 대한 GA\_L(2,1) 및 SA\_L(2,1)의 10회 반복된 실험 결과에 대한 표준 편차 (SD) 및 변동 계수 (CV)를 보여주고 있다. 표로부터 GA\_L(2,1)은 SA\_L(2,1)에 비하여 약 3배 정도의 편차를 보임을 알 수 있다. 또한 변동 계수 측면에서 SA\_L(2,1)은 GA\_L(2,1)에 비하여 상대적으로 변동성이 작다는 것을 알 수 있으며 이로부터 SA\_L(2,1)은 GA\_L(2,1)보다 안정적인 결과를 생성한다는 것을 확인 할 수 있다.

표 3. GA\_L(2,1) 및 SA\_L(2,1)의 10회 반복 실험 결과의 표준 편차 (SD) 및 변동 계수 (CV)

Table 3. Standard deviations and coefficient of variation based on 10 repeated experimental results for GA\_L(2,1) and SA\_L(2,1)

Graph	GA_L(2,1)		SA_L(2,1)	
	SD	CV	SD	CV
G300-1	6.88	1.31	2.04	0.61
G300-2	6.20	1.19	2.63	0.83
G300-3	5.74	1.10	1.64	0.48
G300-4	7.51	1.42	1.57	0.45
G300-5	5.31	1.01	2.11	0.60

#### 4. 결 론

본 연구의 목적은 L(2,1)-labeling 문제에 적용 가능한 효율적인 SA 알고리즘을 개발하는 것으로서 이를 위하여 제안된 알고리즘을 다양한 complete k-partite graph에 적용 및 그 결과를 다른 알고리즘의 결과 및 최적 값과 비교 분석하였다. 제안된 SA 알고리즘은 이전 연구에서 제안된 유전 알고리즘 보다 효율성이 높다는 것을 보였지만 최적값과 비교하면 여전히 차이가 존재하므로 더욱 효율적인 SA 또는 유전 알고리즘의 개발이 요구됨을 알 수 있다. 본 연구에서 제안된 알고리즘은 First-Fit 알고리즘을 반복적으로 실행시키는데 이 계산의 복잡도는  $O(n\Delta^2(G))$ 이다. 그러나 만일  $\Delta(G) \in O(n)$  이라면 First-Fit 알고리즘의 계산 복잡도는  $O(n^3)$ 이 되므로 이에 대한 개선이 요구된다.

#### 참 고 문 헌

[1] W. K. Hale, "Frequency assignment," *Theory and application, Proc. IEEE*, vol. 68, pp. 1497 - 1514, 1980.  
[2] F. S. Roberts, "T-colorings of graphs : Recent results and open problems," *Discr. Math.* vol. 93,

- pp. 229 - 245, 1991.
- [3] J. R. Griggs and R. K. Yeh, "Labeling graphs with a condition at distance two," *SIAM J. Discr. Math.*, vol. 5, pp. 586-595, 1992.
- [4] G. J. Chang and D. Kuo, "The L(2,1)-labeling on graphs," *SIAM J. Discr. Math.*, vol. 9, pp. 309 - 316, 1996.
- [5] D. Král and R. Škrekovski, "A theorem about channel assignment problem," *SIAM J. Discr. Math.*, vol. 16, pp. 426 - 437, 2003.
- [6] D. Goncalves, "On the L(p,1)-labeling of graphs," *Discr. Math. and Theor. Comp. Science AE*, pp. 81-86, 2005.
- [7] 한근희, 김찬수, "유전자 알고리즘 이용한 그래프에서 L(2,1)-labeling 문제 연구," *정보처리학회논문지 B*, 제 15-B 권, 제 2 호, pp. 131-136, 2008
- [8] Zbigniew Michalewicz, "Genetic Algorithms + Data Structures = Evolution Programs," *Springer-Verlag*, Berlin, 1992.
- [9] West. B, "Introduction to Graph Theory," *Hall & Co.*, 2000.
- [10] S. Kirkpatrick, C.D. Gelatt, M.P., Vecchi, Optimization by simulated annealing, *Science* 220, pp. 671-680, 1983.
- [11] Hans L. Bodlaender, Ton Kloks, Richard B. Tan and Jan van Leeuwen, Approximations for  $\lambda$ -coloring of graphs, *The Computer Journal* 47, pp. 193-204, 2004.
- [12] D. Coppersmith and S. Winograd, "Matirx multiplication via arithmetic progression", *Proceedings of the 19th ACM Symposium on Theory of Computing*, pp. 1-6, 1987.

## 저 자 소 개



### 한근희(Keun-Hee Han)

1986년 : 건국대학교 물리학과 졸업(학사)  
 1992년 : Univ. of Central Oklahoma  
 응용수학과 졸업(이학석사)  
 1996년 : Univ. of Oklahoma 컴퓨터과학과  
 졸업(이학박사)  
 1996년 ~ 2000년 : 한국전자통신연구원  
 1999년 ~ 2000년 : 미국 NIST 객원연구원  
 2000년 ~ 현재 : 공주대학교 응용수학과 교수

관심분야 : 그래프 알고리즘, Genetic Algorithm  
 Phone : +82-41-850-8564  
 Fax : +82-41-850-8560  
 E-mail : kehan@kongju.ac.kr



### 이용진(Yong-Jin Lee)

2007년 : 공주대학교 응용수학과 졸업  
 (학사)  
 2009년 : 공주대학교 응용수학과 졸업  
 (이학석사)  
 2009년 ~ 현재 : 공주대학교 응용수학과  
 박사과정

관심분야 : Genetic Algorithm, 진화 알고리즘  
 Phone : +82-41-850-0939  
 Fax : +82-41-850-8560  
 E-mail : leeyongjin@kongju.ac.kr